

Магнитные свойства упорядоченных нанопроволок квазидвумерного антиферромагнетика $\text{SpFeMn}(\text{C}_2\text{O}_4)_3$

© Ф.Б. Мушенков, А.И. Дмитриев, М.В. Кирман, С.М. Алдошин, Н.А. Санина, Р.Б. Моргунов

Институт проблем химической физики РАН,
Черноголовка, Московская обл., Россия

E-mail: morgunov2005@yandex.ru

(Поступила в Редакцию 16 декабря 2009 г.
В окончательной редакции 22 марта 2010 г.)

Созданы упорядоченные массивы нанопроволок фотохромного антиферромагнетика $\text{SpFeMn}(\text{C}_2\text{O}_4)_3$ ($\text{Sp} — 1\text{-}\{(1', 3', 3'\text{-триметил-6-нитро-5'-хлорспиро[2Н-1-бензопиран-2, 2'-индолин]-8-ил)метил\}$ пиридиний) в порах анодизированного оксида алюминия диаметрами 20 и 200 нм. Обнаружено, что в нанопроволоках подавляется рост спин-стекольной фазы с неколлинеарным упорядочением спинов в пользу фазы одноосного антиферромагнетика. Установлено, что уменьшение диаметра нанопроволок ведет к росту анизотропии спектров магнитного резонанса. Это обусловлено магнитокристаллической анизотропией, значительно превышающей анизотропию формы нанопроволок.

Работа выполнена при финансовой поддержке программы Президиума РАН № 27 „Основы фундаментальных исследований нанотехнологий и наноматериалов“.

1. Введение

Практическое применение нанообъектов полифункциональных соединений возможно в случае их организации в упорядоченные структуры. Поэтому цель настоящей работы заключалась в создании упорядоченных массивов наноструктур, в которых элементарными ячейками являются нанопроволоки фотохромного материала, обладающего магнитным упорядочением. В массивных образцах фотохромных кристаллов наблюдаются многообразные фотомагнитные эффекты, связанные с влиянием света на коэрцитивную силу [1–3], изменение термоиндуцированного магнетизма фотохромных спиропирановых молекул [1], перераспределение электронов между органической фотохромной и неорганической магнитной подсистемами [2–4]. Использование каждого из этих явлений в двумерном ансамбле фотомагнитных наноэлементов позволило бы создать магнитооптический аналог элемента памяти, в котором магнитная информация, хранящаяся в отдельных фотохромных наноструктурах, могла бы считываться/записываться с помощью света.

Интерес к упорядоченным ансамблям нанопроволок обусловлен необходимостью создания структур, удовлетворяющих следующим минимальным техническим требованиям: известная архитектура массивов наночастиц, контроль над их взаимодействием, синергизм магнетизма и фотохромизма, позволяющий светом записывать и стирать биты магнитной информации в отдельных наноячейках, высокое быстродействие, обеспеченное оптическим переключением магнитных состояний наноструктур, возможность достигать новых физических качеств фотомагнетиков при ограничении их размеров до величин, меньших характерных параметров физических процессов в них (длин спиновой корреляции, глубины проникновения света и т.п.). Первые результаты, свидетельствующие о возможности заполнения наноматрицы фотохромными молекулами спиропиранов,

были получены ранее авторами [5,6], которые обнаружили также несколько специфических эффектов, вызванных наноструктурированием (оптически переключаемую люминесценцию, фотоуправляемые наноклапаны, регулирующие прохождение молекул растворителя через нанопору, а также фотопереключение электрической проводимости).

В ходе нашей работы для создания массива фотомагнитных наноструктур, удовлетворяющих перечисленным выше требованиям, было синтезировано соединение $\text{SpFeMn}(\text{C}_2\text{O}_4)_3$ со спиропирановым катионом Sp^+ — $1\text{-}\{(1', 3', 3'\text{-триметил-6-нитро-5'-хлорспиро[2Н-1-бензопиран-2,2'-индолин]-8-ил)метил\}$ пиридином — и анионом — (трис)оксалатом марганца (II) и железа (III). Этот класс фотомагнетиков с фотохромными катионами спиропиранов индолинового ряда был впервые синтезирован и аттестован ранее [7,8]. Кристаллическая структура и магнитные свойства биметаллических молекулярных магнетиков типа $A^+M^{\text{II}}M^{\text{III}}(\text{C}_2\text{O}_4)_3$, где A^+ — катион, M^{II} и M^{III} — ионы переходных металлов, хорошо известны для объемных образцов [9,10]. Их кристаллическая решетка состоит из чередующихся слоев анионной оксалатной сетки переходных металлов $M^{\text{II}}M^{\text{III}}(\text{C}_2\text{O}_4)_3$ и катионов A^+ . Между чередующимися слоями оксалатной сетки имеются катионные слои спиропиранов. Было надежно установлено, что в подобных соединениях магнитное упорядочение имеет квазидвумерный характер и реализуется в плоскости оксалатных сеток металлов. Обменное взаимодействие между соседними слоями отсутствует [9–15].

В нейтронографических исследованиях [11,12] было установлено, что в зависимости от кристаллической структуры и типа ионов металлов M^{II} , M^{III} при низких температурах ($T < 50\text{ К}$) наблюдается ферромагнитное [10] или ферримагнитное [13] упорядочение спинов либо состояние неколлинеарного антиферромагнетика [14]. В соединениях на основе ионов Fe

и Mn, как правило, наблюдается антиферромагнетизм, или „скошенный“ антиферромагнетизм, поскольку спины ионов магнитных подрешеток Mn и Fe одинаковы и равны 5/2 [14,15]. Часто фазы чистого и скошенного антиферромагнетика в образце неразделимы [15], и их сосуществование представляет собой проблему для исследования структуры полученных соединений и понимания физики магнитных взаимодействий. Кроме того, обычно выращивание крупных монокристаллов, допускающих исследование их физических свойств, весьма затруднительно. „Порошковые“ образцы не позволяют получить однозначно интерпретируемую информацию о кристаллической структуре и магнитных свойствах. На преодоление этих проблем направлена настоящая работа, результаты которой представляют собой новую методику создания массивов магнитоупорядоченных фотохромных монокристаллов размерами 20–200 nm, допускающих исследование магнитной анизотропии.

2. Методика

Нанопроволоки $\text{SpFeMn}(\text{C}_2\text{O}_4)_3$ синтезированы в порах мембраны анодированного оксида алюминия (AAO — anodized aluminium oxide) фирмы Whatman (Great Britain) толщиной $60\ \mu\text{m}$ со сквозными параллельными друг другу отверстиями диаметром 20 или 200 nm. Для выращивания нанопроволок мембрану AAO с нанопорами закрепляли таким образом, чтобы реакционная смесь находилась только с одной стороны мембраны (рис. 1). В результате проведенных химических реакций на другой стороне мембраны были обнаружены следы синтезированного вещества, проникшего через нанопоры мембраны AAO. Для верификации заполненности пор в мембране AAO и аттестации материала, прошедшего сквозь мембрану, использовали ее „нерабочую“ поверхность, которая пребывала вне зоны синтеза в процессе выращивания нанопроволок. Методами сканирующей электронной и атомно-силовой микроскопии было установлено, что доля нанопор мембраны AAO, заполненных нанопроволоками, составляет $\sim 50\%$. Условия химического синтеза и аттестации нанопроволок $\text{SpFeMn}(\text{C}_2\text{O}_4)_3$ описаны в [16].

Магнитный момент M образцов был исследован с помощью СКВИД-магнитометра MPMS 5XL, Quantum Design. Зависимость магнитного момента от температуры $M(T)$ была измерена в интервале температур 2–300 K при постоянном магнитном поле напряженностью $H = 1\ \text{kOe}$. Полученные значения магнитного момента для каждой точки температурной зависимости $M(T)$ пересчитывались в эффективный магнитный момент μ_{eff} по формуле

$$\mu_{\text{eff}} = (8MT/\nu H)^{1/2} \mu_B, \quad (1)$$

где μ_B — магнетон Бора, T — температура, ν — количество вещества, величина $M/\nu H$ характеризует статическую молярную магнитную восприимчивость. Зависимость магнитного момента от напряженности магнитного поля $M(H)$ была измерена в интервале полей 0–50 kOe при температуре $T = 2\ \text{K}$.

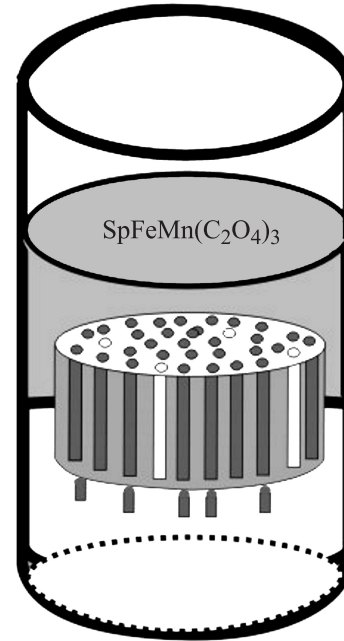


Рис. 1. Схема выращивания нанопроволок $\text{SpFeMn}(\text{C}_2\text{O}_4)_3$ в порах мембраны анодированного оксида алюминия.

Спектры электронного спинового резонанса получены на спектрометре Bruker EMX, оснащённом гелиевым криостатом Oxford Instruments ESR-900. Спектры электронного спинового резонанса были получены в виде зависимостей первой производной поглощенной в образце микроволновой мощности dP/dH от магнитного поля H . Эксперименты проводились при частоте микроволнового поля 9.4 GHz и частоте модуляции 100 kHz в температурном диапазоне 4–300 K. Образцы располагали в пучности магнитной составляющей микроволнового поля H_{102} в прямоугольном резонаторе. Угол между постоянным магнитным полем и осью нанопроволок регулировался с помощью автоматического гониометра с относительной точностью 0.1° .

3. Результаты и их обсуждение

Для установления типа магнитного состояния в образцах были получены зависимости магнитного момента M от напряженности магнитного поля H при температуре 2 K (рис. 2, a). Как в объемном, так и в наноструктурированном образце $\text{SpFeMn}(\text{C}_2\text{O}_4)_3$ зависимости $M(H)$ при 2 K не описываются функцией Бриллюэна, которая должна была бы наблюдаться при этой температуре в случае парамагнитного состояния образца (рис. 2, a). Установленная ранее кристаллическая структура исследуемых соединений не допускает возможности существования отдельных металлических фаз и включений и не позволяет объяснить наблюдаемые зависимости суперпарамагнитным состоянием материалов. Таким образом, полученные полевые зависимости (особенно квазилинейная полевая зависимость для

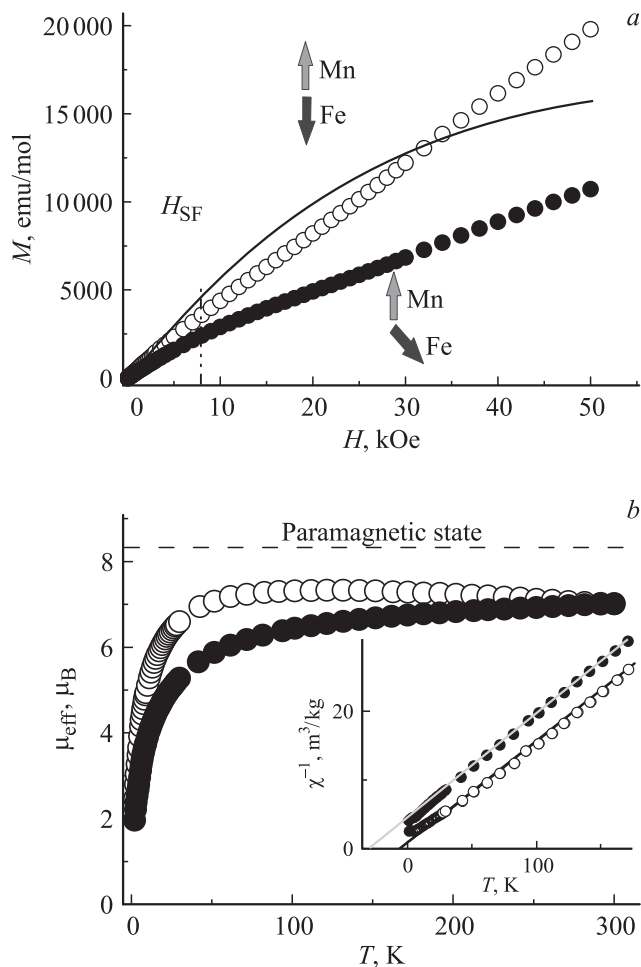


Рис. 2. *a)* Зависимости магнитного момента M от внешнего поля H при температуре $T = 2$ К для нанопроволок $\text{SpFeMn}(\text{C}_2\text{O}_4)_3$ диаметром 20 нм (светлые символы) и для объемного образца $\text{SpFeMn}(\text{C}_2\text{O}_4)_3$ (темные символы). Показана взаимная ориентация спинов ионов Fe^{3+} и Mn^{2+} в коллинеарном и неколлинеарном антиферромагнетиках. Сплошная линия — функция Бриллюэна для парамагнетика со спином 5/2 при 2 К. *b)* Температурные зависимости эффективного магнитного момента μ_{eff} для нанопроволок $\text{SpFeMn}(\text{C}_2\text{O}_4)_3$ диаметром 20 нм (светлые символы) и для объемного образца $\text{SpFeMn}(\text{C}_2\text{O}_4)_3$ (темные символы). Горизонтальной штриховой линией показано расчетное значение μ_{eff} для невзаимодействующих спинов. На вставке — зависимость обратной магнитной восприимчивости от температуры для тех же соединений.

наноструктурированного образца) не могут быть объяснены парамагнетизмом или суперпарамагнетизмом. Учтем также, что абсолютная величина эффективного магнитного момента μ_{eff} в 4 раза меньше значения, которое должно было бы наблюдаться для парамагнетика (рис. 2, *b*). Так как магнитный момент парамагнитного образца должен быть прямо пропорционален квадрату эффективного магнитного момента, это соответствует тому, что эффективное количество спинов, дающих вклад в магнитный момент образца M , в 16 раз меньше ожидаемого для парамагнетика (рис. 2, *b*). Эти факты,

а также многочисленные работы других авторов, в которых многократно воспроизводилось антиферромагнитное состояние в точно таких же, как в нашей работе, квазидвумерных оксалатных сетках переходных металлов [14,15], свидетельствуют о том, что в образцах наблюдается антиферромагнитное состояние исследуемого соединения.

На зависимости $M(H)$ для объемного материала в районе $H_{\text{SF}} = 8$ кОе наблюдается перегиб, характерный для неколлинеарных антиферромагнетиков (рис. 2, *a*). Можно предполагать, что поле H_{SF} отвечает спин-флоп-переходу из фазы с неколлинеарным упорядочением спинов (spin-canted) к антиферромагнитной фазе под действием магнитного поля. В [9] было показано, что взаимодействие Дзялошинского–Мория приводит к существованию дополнительной намагниченности в неколлинеарной фазе. Обычно спин-флоп-переход изучается в монокристаллических образцах, где он наблюдается в виде резкого скачка при достижении определенного магнитного поля. К сожалению, монокристаллические образцы достаточно большой массы в наших опытах вырастить не удалось. Поэтому порошкообразные образцы, которыми мы располагали, содержали разнообразные ориентации микрокристаллов, проявляющих спин-флоп-переход в разных полях. Мы предполагаем, что размытость перехода на рис. 2, *a* обусловлена именно этим обстоятельством и далее попытаемся количественно оценить принципиальную возможность наблюдения спин-флоп-перехода в данной области полей. Разумеется, сам по себе вид кривой $M(H)$ для объемных образцов в общем случае не является доказательством спин-флоп-перехода. Однако эту версию приходится принять во внимание, потому что спин-флоп-переход уже в небольших полях до 5 Т наблюдался в большом количестве материалов на основе оксалатных сеток переходных металлов.

В нанопроволоках $\text{SpFeMn}(\text{C}_2\text{O}_4)_3$ спин-флоп-переход не наблюдается, а зависимость $M(H)$ практически линейна (рис. 2, *a*), что обычно наблюдается в антиферромагнетиках в отсутствие spin-canted-фазы [17–19]. Известно, что приложение высоких магнитных полей ($g\mu_B H > JS$, здесь μ_B — магнетон Бора, g — g -фактор, J — обменный интеграл, S — спин) может приводить в антиферромагнетиках к фазовому переходу антиферромагнетик–ферромагнетик. Мы экстраполировали линейную зависимость $M(H)$ для нанопроволок в область высоких полей до значения $M = 10 \mu_B$, соответствующего ферромагнитному упорядочению спинов. Магнитное поле H_s (поле схлопывания), в котором наблюдалось бы такое значение M , составляет 280 кОе. Поле схлопывания позволяет получить обменное поле: $H_E \approx H_s/2$ [20,21]. Обменное поле в свою очередь позволяет вычислить поле спин-флоп-перехода $H_{\text{SF}}^2 = 4H_E H_A$, где $H_A = 90$ Ое — поле анизотропии, определенное из спектров антиферромагнитного резонанса. Рассчитанное значение поля спин-флоп-перехода $H_{\text{SF}} = 7$ кОе, что приблизительно согласуется с положением размытой области перегиба на зависимости $M(H)$.

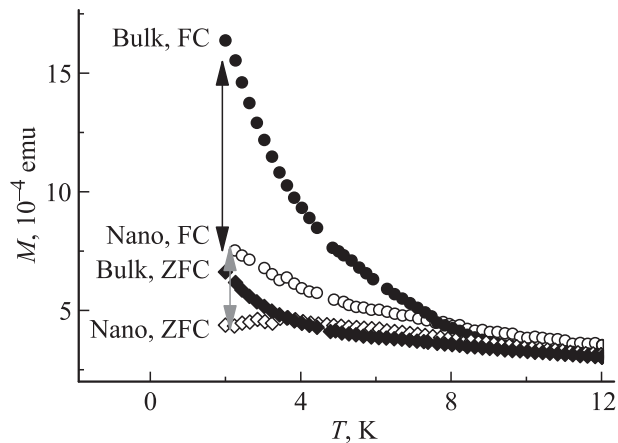


Рис. 3. Температурные зависимости магнитных моментов M объемного образца (темные символы) и нанопроволок диаметром 20 nm (светлые символы), охлажденных в нулевом магнитном поле (ZFC) и в поле 10 кОе (FC). Стрелками отмечены разности магнитных моментов M_{ZFC} и M_{FC} в объемном образце и нанопроволоках.

Из температурной зависимости обратной магнитной восприимчивости $\chi^{-1}(T)$ была определена парамагнитная температура Вейсса T_0 (см. вставку на рис. 2, *b*). Для объемного образца $\text{SpFeMn}(\text{C}_2\text{O}_4)_3$ $T_0 = -27$ К, а для нанопроволок диаметром 20 nm $T_0 = -5$ К. Отрицательный знак парамагнитной температуры Вейсса указывает на антиферромагнитное взаимодействие ионов Mn^{2+} и Fe^{3+} , что согласуется с данными полевой зависимости магнитного момента.

Сравнение массы мембраны до и после заполнения нанопроволоками позволило определить количество вещества ν в нанопорах, необходимое для расчета эффективного момента μ_{eff} (1). При высоких температурах $T = 100-300$ К в объемном образце и нанопроволоках значение μ_{eff} приближается к теоретической оценке для невзаимодействующих спинов (парамагнитного состояния): $\mu_{\text{eff}} = g(S_{\text{Fe}}(S_{\text{Fe}} + 1) + S_{\text{Mn}}(S_{\text{Mn}} + 1))^{1/2} \approx 8.37 \mu_B$ (здесь $g = 2 - g$ -фактор, $S_{\text{Fe}} = S_{\text{Mn}} = 5/2$ — спин ионов Fe^{3+} и Mn^{2+}) (рис. 2, *b*). При понижении температуры T до значений ниже 30 К для объемного образца и нанопроволок наблюдается резкое уменьшение μ_{eff} , которое, как было установлено выше, соответствует уменьшению эффективного количества спинов в 16 раз. Это подтверждает вывод о переходе $\text{SpFeMn}(\text{C}_2\text{O}_4)_3$ в антиферромагнитное состояние при $T \sim 30$ К (рис. 2, *b*).

Различающиеся зависимости $\mu_{\text{eff}}(T)$ и $M(H)$ объемных образцов и нанопроволок не могут быть совмещены друг с другом умножением на постоянное число. Поэтому наблюдаемые результаты не могут объясняться артефактами, связанными с неправильным определением масс образцов или добавочным вкладом мембраны. Исчезновение спин-флоп-перехода в нанопроволоках указывает на то, что могло произойти подавление роста spin-canted-фазы в нанопроволоках и искусственное задание главной оси антиферромагнетика вдоль длины нанопроволок. В пользу этой точки зрения свидетельствует

более резкий переход в антиферромагнитное состояние вблизи 30 К в нанопроволоках по сравнению с размытым переходом в объемных образцах (рис. 2, *b*). Предположение о подавлении роста spin-canted-фазы подтверждается также температурными зависимостями магнитного момента M объемных образцов и нанопроволок, охлажденных в магнитном поле 10 кОе (FC) и нулевом магнитном поле (ZFC) (рис. 3). Различие M_{FC} и M_{ZFC} обусловлено присутствием spin-canted-фазы, приводящей к спин-стекольному состоянию [22]. Можно ожидать, что чем меньше доля spin-canted-фазы, тем ближе образцы к антиферромагнитному состоянию и тем меньше различие между M_{FC} и M_{ZFC} . В наших опытах наблюдалось уменьшение разницы между M_{FC} и M_{ZFC} при переходе от объемных образцов к нанопроволокам (рис. 3). Это согласуется с результатами других наших экспериментов, в которых наблюдается подавление spin-canted-фазы в нанопроволоках. Ранее методом мессбауэровской спектроскопии в сходных соединениях с оксалатными сетками железа и марганца наблюдали аналогичную закономерность: при уменьшении размеров сферических частиц вклад неколлинеарной spin-canted-фазы в намагниченность образца уменьшался [15].

В следующей серии опытов исследовали спектры магнитного резонанса, их анизотропию и зависимость от диаметра нанопроволок, сравнивая с результатами, полученными для объемных образцов (рис. 4). Спектр магнитного резонанса объемного образца состоял из одиночной широкой линии лоренцевой формы с интегральной амплитудой, в 20 раз меньшей, чем можно было бы ожидать для парамагнитного образца (рис. 4, *a*). В спектре магнитного резонанса нанопроволок диаметром 20 nm наблюдаются две линии 1 и 2 (рис. 4, *b*). Для установления ширины ΔH , резонансного поля H_{res} и амплитуды резонансной линии спектров магнитного резонанса последние были аппроксимированы функцией Лоренца. При переходе от объемных образцов к нанопроволокам происходит изменение температурной зависимости резонансного поля H_{res} линии спектра магнитного резонанса (рис. 5, *a*). Значение резонансного поля для объемного образца остается приблизительно постоянным в диапазоне температур 4–300 К. В нанопроволоках диаметром 20 nm величина H_{res} резко уменьшается при охлаждении ниже 30 К (рис. 5, *a*). Еще более заметные изменения видны на ориентационных зависимостях при переходе от объемных образцов к нанопроволокам.

В нанопроволоках выше температуры Нееля (в парамагнитном состоянии) резонансное поле не зависит от температуры и остается постоянным, как и следовало ожидать для парамагнетика. При высоких температурах ($T > T_N$) резонансное поле примерно отвечает g -фактору, равному 2. Ниже температуры Нееля наблюдается резкое отклонение резонансного поля от его значения в парамагнитном состоянии. Это свидетельствует о том, что в материале возникает внутреннее эффективное поле и резонансное поле начинает определяться суммой внешнего магнитного поля и поля анизотропии.

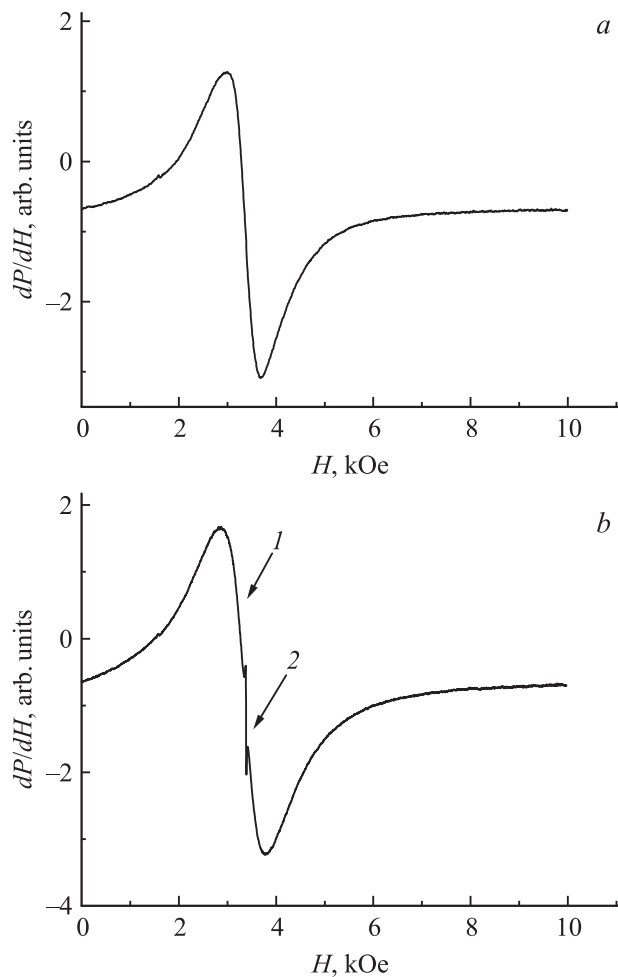


Рис. 4. Спектры антиферромагнитного резонанса в объемном образце $\text{SpFeMn}(\text{C}_2\text{O}_4)_3$ (a) и в нанопроволоках $\text{SpFeMn}(\text{C}_2\text{O}_4)_3$ диаметром 20 nm (b) при $T = 4$ К.

Знак этой добавки обычно зависит от симметрии поля анизотропии и направления внешнего магнитного поля. В металлоорганических антиферромагнетиках часто наблюдаются сходные зависимости $H_{\text{res}}(T)$ с резким уменьшением H_{res} при $T < T_N$ (см., например, [23]). В объемных образцах имеется совокупность микрокристаллов, в которых поле анизотропии ориентировано в разных направлениях по отношению к внешнему магнитному полю. Можно предполагать, что положительное и отрицательное отклонения резонансного поля от высокотемпературного значения в разных кристаллитах компенсируют друг друга.

На рис. 5, b представлены ориентационные зависимости резонансного поля H_{res} линии спектров магнитного резонанса в объемном образце и нанопроволоках. В объемном порошковом образце анизотропия резонансного поля H_{res} линии спектров магнитного резонанса отсутствует (рис. 5, b). Это указывает на то, что эффекты магнитного текстурирования (переориентации микрокристаллитов порошкового образца под действием магнитного поля) в используемом диапазоне магнитных по-

лей отсутствуют. В нанопроволоках с диаметром 20 nm наблюдается анизотропия H_{res} , которая усиливается при уменьшении диаметра до 20 nm (рис. 5, b). При значениях угла между направлением постоянного магнитного поля \mathbf{H} спектрометра и осью нанопроволок $\theta = 90^\circ$ резонансное поле принимает минимальное значение, а при углах $\theta = 0$ и 180° имеют место максимумы H_{res} (рис. 5, b). Таким образом, с уменьшением диаметра нанопроволок магнитная анизотропия возрастает.

Анизотропия резонансного поля нанопроволок может быть объяснена как анизотропией их формы, так и кристаллической анизотропией. Для разделения этих возможностей нами была выполнена оценка „сверху“

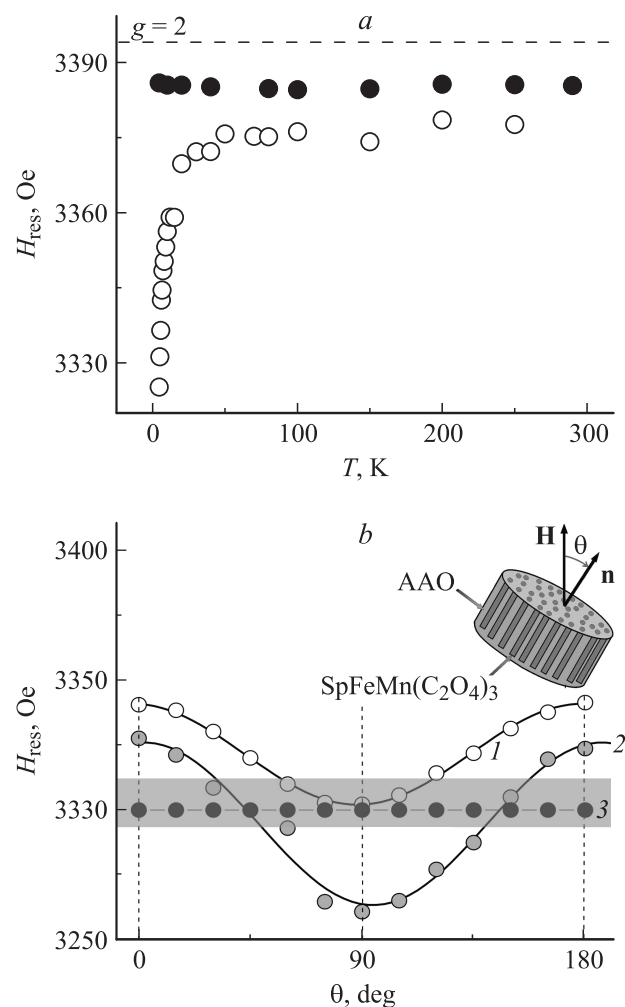


Рис. 5. a) Температурные зависимости резонансного поля линии спектра антиферромагнитного резонанса в нанопроволоках (светлые символы) и объемных образцах (темные символы). Горизонтальная штриховая линия показывает резонансное поле, соответствующее g -фактору, равному 2. b) Зависимости резонансного поля H_{res} линии спектра антиферромагнитного резонанса от угла θ между направлением постоянного магнитного поля \mathbf{H} и осью нанопроволок при температуре 4 К для нанопроволок диаметром 200 (1) и 20 nm (2) и объемного образца (3). Серая полоса в окрестности 3.3 кОе показывает расчетную анизотропию формы образца (см. текст).

для анизотропии формы и ее влияния на угловые зависимости линии спектров магнитного резонанса. Для оценки анизотропии формы сначала необходимо было оценить величину диполь-дипольного взаимодействия H_d нанопроволок. Если оно велико ($H_d \sim H_{\text{res}}$), то мы имеем случай тонкой магнитной пленки с неразличимыми нанопроволоками; если же мало ($H_d \ll H_{\text{res}}$), то имеет место случай отдельных нанопроволок. Поле H_d вычисляется по формуле: $H_d = -4\pi M_s f$, где M_s — намагниченность насыщения, $f = 2\pi r^2 / (3^{1/2} d^2)$ — фактор заполнения мембраны нанопроволоками (здесь r — радиус нанопроволок, d — расстояние между ними). Если использовать вместо намагниченности насыщения M_s значение намагниченности нанопроволок в резонансном магнитном поле ~ 3.3 кОе, взятом из спектров магнитного резонанса (рис. 4), то для нанопроволок диаметром 20 нм (фактор заполнения $f = 0.01$) $H_d = -0.2$ Ое. Таким образом, диполь-дипольным взаимодействием нанопроволок можно пренебрегать и относить измеряемые магнитные характеристики к отдельным нанопроволокам.

С учетом присутствия неколлинеарной фазы с нескомпенсированным магнитным моментом расчет проводился по формулам Киттеля [24] для бесконечно длинного цилиндра, намагниченного вдоль и поперек оси. Подобный расчет применим к исследуемым образцам, поскольку, как показано в [25], формулы Киттеля описывают анизотропию формы в пара- и антиферромагнетиках. Оценка отклонения резонансных полей от теоретического значения, соответствующего $g = 2$, при параллельной $(\Delta H_{\text{res}})_{\parallel}$ и перпендикулярной $(\Delta H_{\text{res}})_{\perp}$ ориентациях образца относительно магнитного поля приводит к следующим значениям: $(\Delta H_{\text{res}})_{\parallel} = -\pi M_s = -8$ Ое, $(\Delta H_{\text{res}})_{\perp} = H_0 - (H_0(H_0 - 2\pi M_s))^{1/2} = 5$ Ое, если использовать вместо намагниченности насыщения M_s значение намагниченности образца в резонансном магнитном поле ~ 3.3 кОе, взятом из спектров магнитного резонанса (рис. 4). Здесь H_0 — резонансное поле в отсутствие магнитной анизотропии. Таким образом, разность резонансных полей при направлении магнитного поля вдоль и поперек проволочек не должна превышать $(\Delta H_{\text{res}})_{\parallel} - (\Delta H_{\text{res}})_{\perp} = 13$ Ое, что в несколько раз меньше наблюдаемой разности резонансных полей: $(\Delta H_{\text{res}})_{\parallel} - (\Delta H_{\text{res}})_{\perp} = 30$ Ое для нанопроволок диаметром 200 нм и $(\Delta H_{\text{res}})_{\parallel} - (\Delta H_{\text{res}})_{\perp} = 50$ Ое для нанопроволок диаметром 20 нм (рис. 5, б). Для сравнения с экспериментом ожидаемая величина анизотропии формы $(\Delta H_{\text{res}})_{\parallel} - (\Delta H_{\text{res}})_{\perp}$ на рис. 5, б показана серой полосой. Полученные результаты позволяют сделать вывод, что наблюдаемая анизотропия линии спектров магнитного резонанса обусловлена магнитокристаллической анизотропией нанопроволок, а не анизотропией их формы. Заметим, что наблюдаемая в нанопроволоках анизотропия не может быть связана с магнитоупругой анизотропией, так как в этом случае ориентационная зависимость H_{res} должна быть сдвинута по фазе на 90° [26]. Согласно [15], в двумерном антиферромагнетике наблюдается анизотропия намагниченности во внешнем магнитном поле, и

ее наличие связано с полем анизотропии, отражающим взаимодействие между двумя подрешетками. На наш взгляд, этим и обусловлена анизотропия резонансного поля, наблюдаемая в наших опытах. Перечисленные факты дают основания предполагать, что наблюдаемый магнитный резонанс может соответствовать антиферромагнитному резонансу.

Таким образом, выращивание нанопроволок в порах мембраны ААО позволило избавиться от сосуществования двух магнитных фаз в $\text{SpFeMn}(\text{C}_2\text{O}_4)_3$. Кроме того, в нанопорах происходит рост либо монокристаллов, либо поликристаллов, состоящих из ориентированных зерен (образуется кристаллографическая текстура) $\text{Sp}[\text{FeMn}(\text{C}_2\text{O}_4)_3]$. Это открывает возможности для систематического изучения физических характеристик квазидвумерного антиферромагнетика, свободного от коллинеарной фазы и эквивалентного монокристаллу. Как известно, синтез больших монокристаллов затруднен. Нами предложен способ выращивания ансамблей монокристаллов, который позволяет избежать необходимости выращивания монокристаллов.

4. Выводы

Созданы объемные образцы и упорядоченные массивы нанопроволок в порах мембраны анодизированного оксида алюминия фотохромного антиферромагнетика $\text{SpFeMn}(\text{C}_2\text{O}_4)_3$. В объемных образцах имеет место неколлинеарный антиферромагнетизм в подрешетке $\text{FeMn}(\text{C}_2\text{O}_4)_3$, который проявляется на полевой зависимости магнитного момента образца в виде размытой особенности при 8 кОе, которая по теоретическим оценкам соответствует спин-флоп-переходу. В нанопроволоках наблюдается подавление роста фазы с неколлинеарным упорядочением спинов и преобладание коллинеарной антиферромагнитной фазы двумерных секторов $\text{FeMn}(\text{C}_2\text{O}_4)_3$. Спектры магнитного резонанса нанопроволок в отличие от объемных образцов анизотропны. Это обусловлено магнитокристаллической анизотропией, значительно превышающей анизотропию формы нанопроволок, что свидетельствует о монокристаллическости нанопроволок. Уменьшение диаметра нанопроволок ведет к росту анизотропии спектров магнитного резонанса.

Список литературы

- [1] S.M. Aldoshin. J. Photochem. Photobiol. **200**, 19 (2008).
- [2] R.B. Morgunov, F.B. Mushenok, S.A. Aldoshin, N.A. Sanina, E.A. Yur'eva, G.V. Shilov, V.V. Tkachev. New J. Chem. **33**, 1374 (2009).
- [3] Р.Б. Моргунов, Ф.Б. Мушенок, С.М. Алдошин, Е.А. Юрьева, Г.В. Шилов. ФТТ **51**, 1568 (2009).
- [4] R.B. Morgunov, F.B. Mushenok, S.A. Aldoshin, E.A. Yur'eva, G.V. Shilov, V.J. Tanimoto. Solid State Chem. **182**, 1424 (2009).
- [5] M. Zhu, L. Zhu, J.J. Han, W. Wuwei, J.K. Hurst, A.D.Q. Li. J. Am. Chem. Soc. **128**, 4303 (2006).

- [6] I. Vlassiouk, Ch. Park, S.A. Vail, D. Gust, S. Smirnov. *Nano Lett.* **6**, 1013 (2006).
- [7] S.M. Aldoshin, N.A. Sanina, V.I. Minkin, N.A. Voloshin, V.N. Ikorskii, V.I. Ovcharenko, V.A. Smirnov, N.K. Nagaeva. *J. Mol. Struct.* **826**, 69 (2007).
- [8] С.М. Алдошин, Н.А. Санина, В.А. Надточенко, Е.А. Юрьева, В.И. Минкин, Н.А. Волошин, В.Н. Икорский, В.И. Овчаренко. *Изв. АН. Сер. хим.* **6**, 1055 (2007).
- [9] E. Coronado, J.-R. Galán-Mascarós, C.-J. Gómez-Garsía, J. Ensling, P. Gutlich. *Chem. Eur. J.* **3**, 6 (2000).
- [10] H. Tamaki, Z.-J. Zhong, N. Matsuto, S. Kida, M. Koikawa, N. Achiwa, Y. Hashimoto, H. Okawa. *J. Am. Chem. Soc.* **114**, 6974 (1992).
- [11] R. Pellaux, H.W. Schmalle, R. Huber, P. Fischer, T. Hauss, B. Ouladdiaf, S. Decurtins. *Inorg. Chem.* **36**, 2301 (1997).
- [12] J.S. Miller, M. Drillon. *Magnetism: molecules to materials*. Wiley-VCH-Verlag, GmbH, Weinheim (2002). V. 2. 503 p.
- [13] H. Tamaki, M. Mitsumi, K. Nakamura, N. Matsumoto, S. Kida, H. Okawa, S. Iijima. *Chem. Lett.* **21**, 1975 (1992).
- [14] C. Mathoniere, J. Nutall, S.-G. Carling, P. Day. *Inorg. Chem.* **35**, 1201 (1996).
- [15] Л.О. Атовмян, Г.В. Шилов, Р.Н. Любовская, Н.С. Ованесян, Ю.Г. Морозов, С.И. Пирумова, Е.И. Жилиева, И.Г. Гусаковская. *Письма в ЖЭТФ* **58**, 818 (1993).
- [16] С.М. Алдошин, Н.А. Санина, Ф.Б. Мушенок, М.В. Кирман, А.И. Дмитриев, Р.Б. Моргунов. *Рос. нанотехнологии* **4**, 828 (2009).
- [17] Y.-G. Huang, D.-Q. Yuan, L. Pan, F.-L. Jiang, M.-Y. Wu, X.-D. Zhang, W. Wei, Q. Gao, J.Y. Lee, J. Li, M.-C. Hong. *Inorg. Chem.* **46**, 9606 (2007).
- [18] M.-H. Zeng, W.-X. Zhang, X.-Z. Sun, X.-M. Chen. *Angew. Chem. Int. Ed.* **44**, 3079 (2005).
- [19] S.-H. Park, C.E. Lee. *Bull. Korean Chem. Soc.* **27**, 1587 (2006).
- [20] А.И. Панкрац, Г.А. Петраковский, Н.В. Волков. *ФТТ* **42**, 93 (2000).
- [21] E. Chappel, M.D. Nunez-Regueiro, F. Dupont, G. Chouteau, C. Darie, A. Sulpice. *Eur. Phys. J. B* **17**, 609 (2000).
- [22] M.A. Girtu, C.M. Wynn, W. Fujita, K. Awaga, A.J. Epstein. *J. Appl. Phys.* **83**, 7378 (1998).
- [23] A. Alberola, C.M. Pask, J.M. Rawson, E.J.L. McInnes, J. Wolowska, H. El Mkami, G. Smith. *J. Phys. Chem. B* **107**, 14158 (2003).
- [24] C. Kittel. *Phys. Rev.* **73**, 155 (1948).
- [25] J.-L. Stanger, J.-J. Andre, P. Turek. *Phys. Rev. B* **55**, 8398 (1997).
- [26] A. Kumar, S. Fahler, H. Schlorb, K. Leistner, L. Schultz. *Phys. Rev. B* **73**, 064421 (2006).